

Поступило в редакцию 18 декабря 1987 г.

УДК 538.566 : 621.383

В. В. АТУЧИН, К. К. ЗИЛИНГ, Д. В. ПЕТРОВ, А. В. ЦАРЕВ
(Новосибирск)

АКУСТООПТИЧЕСКОЕ ВЗАИМОДЕЙСТВИЕ В ВОЛНОВОДАХ $Ti : LiTaO_3$

Оптические волноводы, полученные путем диффузии Ti в подложки $LiTaO_3$, перспективны для изготовления активных интегрально-оптических приборов, так как танталат лития характеризуется высокими электрооптическими коэффициентами [1] и обладает низкой по сравнению с ниобатом лития чувствительностью к оптическим повреждениям в видимой области спектра [2]. В данной работе впервые исследовано акустооптическое взаимодействие (АОВ) в волноводах $Ti : LiTaO_3$ и проведено сравнение с волноводами $Ti : LiNbO_3$.

В качестве подложки использовался монокристалл $LiTaO_3$ Y-резца размерами $23 \times 10 \times 3$ мм вдоль X-, Z- и Y-осей соответственно. Для восстановления нарушенного после полировки поверхностного слоя образец был отожжен при температуре $560^{\circ}C$ в течение 4,5 ч. Затем методом термического испарения в вакууме на подложку наносился слой Ti (99,99 %) толщиной 27 нм. Диффузия титана производилась в воздушной атмосфере при температуре $1265^{\circ}C$ в течение 7 ч. Так как температура проведения диффузии значительно превышает температуру Кюри $LiTaO_3$, образец подвергался монодоменанизации по методу, близкому к описанному в [3].

Качество монодоменанизации образца контролировалось по значению электрооптического коэффициента r_{33} в волноводном слое, способ измерения которого приведен в [4]. Для TE_0 -моды r_{33} равнялся $27 \cdot 10^{-12}$ м/В, что хорошо согласуется с известными литературными данными [1].

Ввод и вывод оптического излучения из волновода осуществлялись с помощью призм из германата висмута. При длине волны $\lambda_0 = 0,63$ мкм в волноводе могли распространяться две TE - и две TM -моды, поэтому для восстановления профиля показателя преломления волновода использовались дополнительные измерения на $\lambda_0 = 0,44$ мкм и применен алгоритм работы [5]. Оптические свойства волновода для $\lambda_0 = 0,63$ мкм с хорошей точностью описываются профилем показателя преломления в виде функции Гаусса со следующими параметрами: $\Delta n_e = 0,0066$, $\Delta n_0 = 0,0060$, $h_r = 3,9$ мкм, $n_e = 2,1797$, $n_0 = 2,1750$.

Поверхностная акустическая волна (ПАВ) возбуждалась вдоль оси Z на первой и третьей гармониках встречно-штыревых преобразователей, состоящих из 50 пар электродов с периодом 20 и 26 мкм, апертурой 0,2 и 0,26 см соответственно. Поперечное распределение энергии ПАВ анализировалось оптическим зондом и обрабатывалось на ЭВМ. Для компенсации ошибки, которую вносит неоднородность ПАВ на результат измерения коэффициента связи Γ_{mm} , использовались модифицированные выражения для величины эффективности дифракции в брэгговском режиме:

$$\eta = \sin^2 [\Gamma_{mm} \langle PW \rangle]^{1/2}, \quad (1)$$

$$\text{где } \langle PW \rangle = \left[\int_0^W P_W^{1/2}(x) dx \right]^2, \quad (2)$$

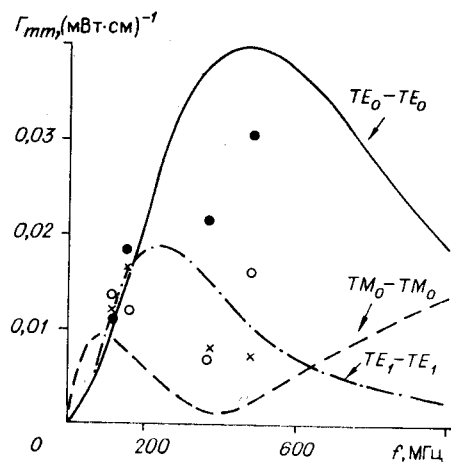
P_W — плотность мощности ПАВ; W — апертура ПАВ.

Выражения (1) и (2) получены исходя из стандартных уравнений связанных волн в предположении слабой неоднородности ПАВ.

Измеренные значения коэффициента связи Γ_{mm} для наиболее эффективных про-

Частотная зависимость коэффициента связи Γ_{mm} в волноводе $Ti : LiTaO_3$:

расчет и экспериментальные точки: ● — $TE_0 - TE_0$, × — $TE_1 - TE_1$, ○ — $TM_0 - TM_0$



Процессы	TE ₀ —TE ₀		TM ₀ —TM ₀	
	γ_{00} , (мВт × × см) ⁻¹	F, ГГц	γ_{00} , (мВт × × см) ⁻¹	F, ГГц
Ti : LiNbO ₃	1,7	3,5	0,41	2,0
Ti : LiTaO ₃	0,49	5,8	0,11	1,2

тия проведено с использованием обобщенных параметров $A = f(\Delta n)^{-1/2}$ [10]. Они позволяют описать частотную зависимость АОВ в обобщенном виде для произвольного градиентного волновода с заданным типом функции профиля [10]. В таблице приведены расчетные значения положений максимумов зависимости $\Upsilon_{mm}(F)$ для двухмодовых волноводов Ti : LiTaO₃ и Ti : LiNbO₃ [10, 11].

Из данных таблицы следует, что в волноводах с одинаковыми параметрами максимальные значения эффективности дифракции TE₀ — TE₀ для единичной апертуры и мощности ПАВ в tantalате лития оказываются в 3,5 раза ниже, а оптимальная частота в 1,7 раза выше, чем в ниобате лития. Если же выбрать параметры двухмодовых волноводов таким образом, чтобы в них наблюдался максимум $\Gamma_{mm}(f)$ на одной и той же частоте, то эффективность дифракции в tantalате лития оказывается уже в 6 раз ниже, чем в ниобате лития.

Однако tantalат лития обладает более низкой чувствительностью к оптическим повреждениям [2] и в отличие от ниобата лития для него не требуется переноса рабочей длины волны оптического излучения в ближнюю ИК-область, что приводило бы к падению эффективности АОВ как λ_0^{-2} [12]. Кроме того, более высокая частота оптимального взаимодействия, наряду с меньшей длиной волны λ_0 , делает волноводы Ti : LiTaO₃ сравнимыми по эффективности с волноводами Ti : LiNbO₃ на сверхвысоких частотах ПАВ (> 1 ГГц).

Таким образом АОВ в волноводах Ti : LiTaO₃ может быть использовано для построения АО-элементов, слабо чувствительных к оптическим повреждениям в видимой области спектра.

В заключение авторы выражают благодарность Э. Н. Киселевой и Г. С. Останиной за изготовление ВШП и С. М. Киккарину, предоставившему ЭВМ-программу по расчету структуры ПАВ в пьезоэлектриках.

ЛИТЕРАТУРА

1. Tangonan G. L., Persechih D. L., Lotspeich J. F., Barnoski M. K. Electrooptic diffraction in Ti-diffused LiTaO₃ // Appl. Opt.—1978.—V. 17, N 2.—P. 3259.
2. Tangonan G. L., Barnoski M. K., Lotspeich J. F., Lee A. High optical power capabilities of Ti-diffused LiTaO₃ waveguide modulator structures // Appl. Phys. Lett.—1977.—V. 30, N 5.—P. 238.
3. Onodera H., Okuda M., Awai I. e. a. Nb-diffused LiTaO₃ waveguides and light modulators by use of guided to radiation mode coupling // Electron. and Commun. in Jap.—1984.—V. 67-C, N 4.—P. 110.
4. Панькин В. Г., Петухова С. И., Пчелкин В. Ю. и др. Исследование волноводов, полученных диффузией титана на Y-срезе метаниобата лития // Квантовая электрон.—1978.—T. 5, № 2.
5. Колосовский Е. А., Петров Д. В., Царев А. В. Численный метод восстановления профиля показателя преломления диффузных волноводов // Квантовая электрон.—1981.—T. 8, № 12.
6. Колосовский Е. А., Петров Д. В., Царев А. В. Частотная зависимость эффективности акустооптического взаимодействия TE-мод в диффузном оптическом волноводе // Квантовая электрон.—1979.—T. 6, № 9.
7. Авакянц Л. П., Кулаков Д. Ф., Шитов Н. И. Фотоупругие постоянные LiTaO₃ // ФТТ.—1976.—T. 18, № 7.
8. Lenzo P. V., Turner E. M., Spencer E. G., Ballman A. A. Electrooptic coefficients and elastic-wave propagation in singledomain ferroelectric lithium tantalate // Appl. Phys. Lett.—1966.—V. 8, N 4.—P. 81.
9. Smith R. T., Welsh F. S. Temperature dependence of elastic, piezoelectric and dielectric constants of lithium tantalate and lithium niobate // J. Appl. Phys.—1971.—V. 42, N 6.—P. 2219.
10. Колосовский Е. А., Петров Д. В., Царев А. В. Влияние параметров диффузного волновода на частотную зависимость эффективности акустооптического взаимодействия // Квантовая электрон.—1980.—T. 7, № 8.
11. Колосовский Е. А., Петров Д. В., Царев А. В., Яковкин И. Б. Частотная зависимость эффективности акустооптического взаимодействия TM-мод // Квантовая электрон.—1981.—T. 8, № 5.
12. Киккарин С. М., Петров Д. В., Царев А. В., Яковкин И. Б. Дисперсия эффективности акустооптического взаимодействия в волноводах Ti : LiNbO₃ // Квантовая электрон.—1985.—T. 12, № 1.

Поступило в редакцию 13 октября 1987 г.

цессов дифракции TE_m — TE_m, TM_m — TM_m на различных частотах ПАВ представлены на рисунке. Там же приведены результаты расчета $\Gamma_{mm}(f)$, выполненные по методике работы [6]. Значения физических констант LiTaO₃ взяты из [7—9].

Сравнение акустооптических свойств волноводов на tantalате и ниобате ли-